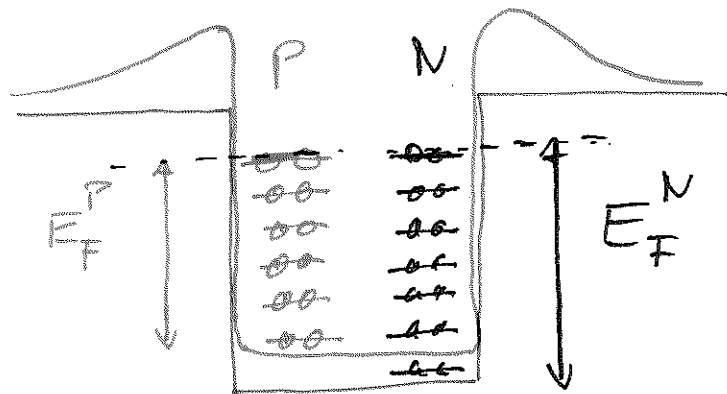


- Schwere Kerne haben Neutronenüberschuß
Fermi-Niveaus von Protonen und Neutronen
würden auf selbem Niveau liegen
(ansonsten β -Zerfall)

(Wiederholung/
Ergänzung)
Fermigas-Modell



Tiefe des Potentialtopfes
für Neutronen muß größer
sein als für Protonen

D.h. im Mittel sind
Protonen schwächer gebunden
als Neutronen, was
aus Coulomb Abstoßung der
Protonen vor Grund
resultiert werden kann

Schalenmodell

(1)

Tropfen-Modell und Fermi-Modell können speziellen Eigenschaften angeregter Kernzustände nicht erklären.

Bestlet u. F. (Sesser (1932/33) wies auf darauf hin, daß Kerne besondere stabile Konfigurationen haben, wenn Z oder N (oder beide) eine magische Zahl ist:

2, 8, 20, 28, 50, 82, 126

Experimentelle Hinweise:

- Häufigkeit verschiedener gg -Nuklide als Funktion von A
- Separationsenergie für das letzte Nukleon
- Abweichung d. Bindungsenergie von Weizsäcker Massenformel
- Energie des ersten angeregten Zustandes in gg -Kernen
- β -Umwandlungsenergie in β^+ -Kernen von u -Neutronen in u -Protonen

- Einflussequeschnitte von Neutronen als Faktor von N ②

Evidenz für magische Zahlen : Analog zur Atomphysik
schalenähnliche Struktur im Kern

- Spin-Bahn Kräfte entscheidend
- Pauli-Prinzip verbietet Zusammenstoß zw. Nucleonen
=> (fast) ungestörte Bahnen der Nucleonen in Kernmaterie

Naives Schalenmodell: Nucleonen bewegen sich unabhängig
von einander in sphärischen Potential

„Schalenabschluss“ ergibt sich dann, wenn ein Zustand
zum nächst höheren Niveau eine besonders große Energie-
differenz aufweist.

Frage

Form des Potentials:

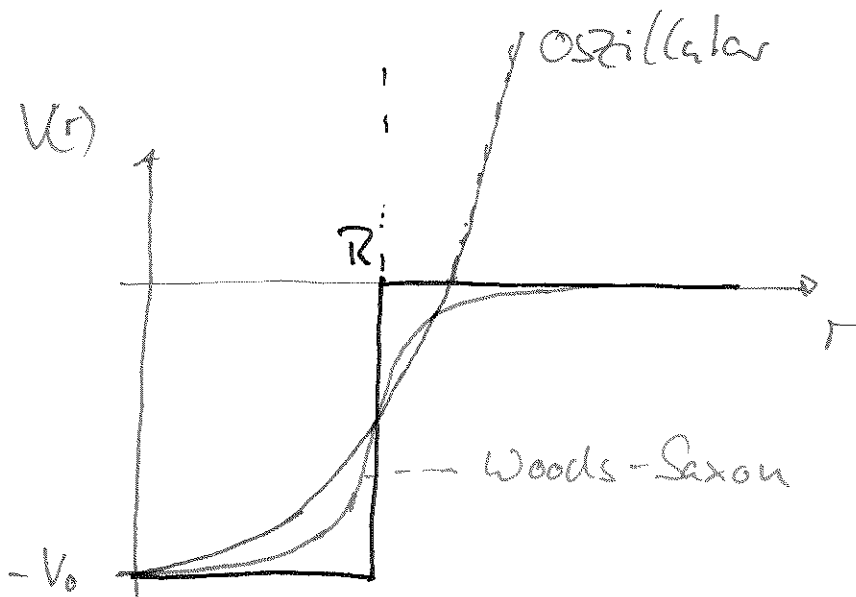
③

- Rechteckpotential

- 3-d harmonischer Oszillator

- realistische Potentialform die gemessene Dichteverteilung gut wieder gibt (Woods-Saxon Potential)

$$V(r) = \begin{cases} -V_0 \left(1 - \left(\frac{r}{R}\right)^2\right) & \text{für } r < R \\ 0 & \text{für } r > R \end{cases}$$



$$V(r) = -V_0 \left[1 + e^{\frac{r-R}{a}}\right]^{-1}$$

wobei a : Maß für Randenschärfe

Für Rechteck bzw. Oszillatorpotential lassen sich analytisch lösen (wenn man $V(r \rightarrow R_0)$ nicht gegen 0 gehen lässt)

für harm. Oszillator (3-d)

4

Energieniveaus $E_{l, n}$

mit Bahndrehimpuls l und Radialquantenzahl n ,
die angibt wieviel Nullstellen (Knoten) die WF hat.

$$E_{n, l} \equiv E_{\lambda} = \left(\lambda + \frac{3}{2} \right) \hbar \omega$$

$$\text{mit } \lambda = 2(n-1) + l = 0, 1, 2, \dots$$

$$n = 1, 2, 3, \dots \quad (\text{Zahl der Knoten} + 1)$$

$$l = 0, 1, 2, \dots \quad \text{bzw. } s, p, d, \dots$$

$$E_0 = \frac{3}{2} \hbar \omega$$

Erläuterung: abgesehen von unteure zwei Niveaus
sind Lsg von verschiedenen Paaren der Werte
 n und l bzw. Oszillator „zufällig“ entartet

$$\text{Bsp: } l = 3, n = 1 \Rightarrow \lambda = 2(n-1) + l = 3$$

$$l = 1, n = 2 \Rightarrow \lambda = \dots = 3$$

Jeder Zustand mit Bahndrehimpuls l
 hat hinsichtlich magn. Quantenzahl m
 eine $(2l+1)$ -fache Entartung
 und kann nach Pauli-Prinzip mit
 $\nu = 2(2l+1)$ Teilchen von Spin $-\frac{1}{2}$ Teilchen
 besetzt werden.

Entartung: $\frac{1}{2} (l+1)(l+2) \cdot 2$
 \uparrow
 Spin

Oszillatoren-Schalen des 3-d Oszillators:

N	Orbitale	Parität $(-1)^l$	Entartung	Σ Zustände Nukleon	max. Zahl
0	1s	+	2	2	✓
1	1p	-	6	8	✓
2	2s, 1d	+	12	20	✓
3	2p, 1f	-	20	40	—
4	3s, 2d, 1g	+	30	70	—
5	3p, 2f, 1h	-	42	112	—

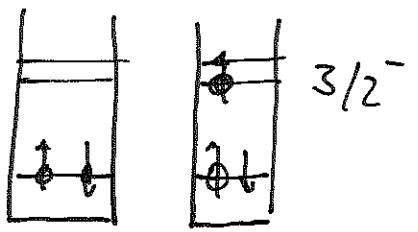
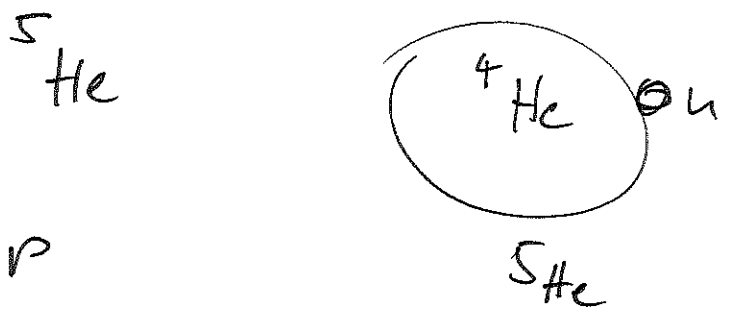
harmonischer Oszillator führt zu Schalenabschluss bei
Nukleonzahl 2, 8, 20, 40, 70, 112, ...

Nur für $N = 0, 1, 2$ richtige Vorhersage der mögl. Zellen.

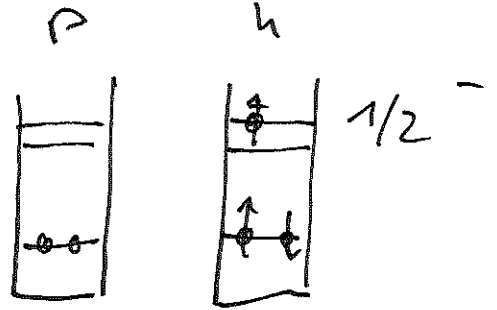
Bisher nicht berücksichtigt: Spin Nukleonen

z.Bsp. Nukleon mit $1p$ Orbital kann
Gesamtspin $\frac{1}{2}$ oder $\frac{3}{2}$ haben

$1p_{1/2}$ - $1p_{3/2}$ (sind bisher unbek.)



Grundzustand
Gesamtspin $\frac{3}{2}$, neg. Parität



1. angeregter Zustand
Gesamtspin $1/2$ neg. Parität

1. angeregte Zust. $\Delta E \approx 1 \text{ MeV}!$

Ansatz: Spin - Bahn - Kraft

$$V_{es} = C_{es} \vec{l} \cdot \vec{s}$$

$$\text{mit } \vec{l} \cdot \vec{s} = \frac{1}{2} (J^2 - l^2 - s^2)$$

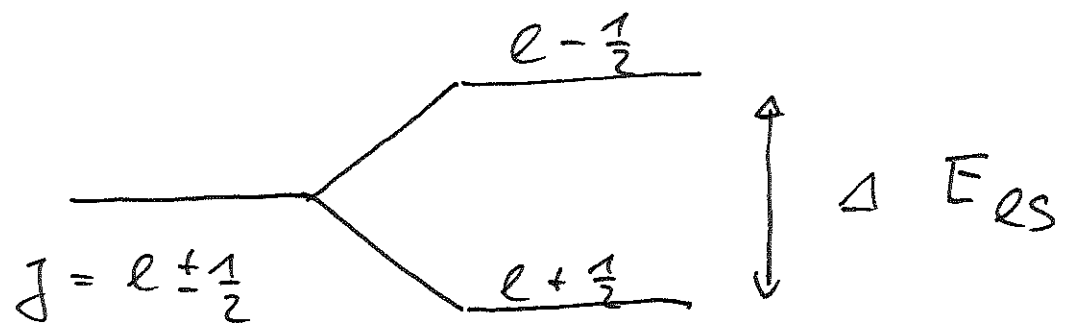
$$\text{wobei } \vec{j} = \vec{l} + \vec{s}$$

$$\Rightarrow V_{es} |j, l, s\rangle =$$

$$C_{es} \frac{\hbar^2}{2} (j(j+1) - l(l+1) - s(s+1)) |j, l, s\rangle$$

$$\text{wobei } s = \frac{1}{2}, \text{ ist } j = l \pm \frac{1}{2} \text{ oder } j = l - \frac{1}{2}$$

$$\frac{V_{es}}{C_{es}} |j, l, s\rangle = \begin{cases} \frac{\hbar^2}{2} l |j, l, \frac{1}{2}\rangle & ; \text{ für } j = l + \frac{1}{2} \\ -\frac{\hbar^2}{2} (l+1) |j, l, \frac{1}{2}\rangle & ; \text{ für } j = l - \frac{1}{2} \end{cases}$$



$$\Delta E_{ls} = C_{ls} \hbar^2 \left(l + \frac{1}{2} \right)$$

⇒ ΔE_{ls} wächst mit Bahndrehimpuls

Zusammenfassung

- „Magische“ Zahlen können durch starke Spin-Bahn-Kraft erklärt werden
- Diese Spin-Bahn-Energie (MeV!) ist Folge der Nukleonennräfte
- Drehimpuls und Parität von Nuklide mit 1 Nukleon über einer abgeschlossenen Schale leicht vorhersehbar